# 国际电信联盟

ITU-T

国际电信联盟 电信标准化部门 G.698.1

(11/2009)

G系列: 传输系统和媒质、数字系统和网络传输媒质及光学系统的特性 - 光学系统的特性

# 具有单路光接口的多路DWDM应用

ITU-T G.698.1 建议书



# ITU-T G 系列建议书

# 传输系统和媒质、数字系统和网络

国际电话连接和电路	G.100–G.199
所有模拟载波传输系统共有的一般特性	G.200–G.299
金属线路上国际载波电话系统的各项特性	G 300–G 399
在无线电接力或卫星链路上传输并与金属线路互连的国际载波电话系统的一般特性	G.400–G.449
无线电话与线路电话的协调	G.450–G.499
传输媒质及光学系统的特性	G.600–G.699
概述	G.600–G.609
· · · · · · · · · · · · · · · · · · ·	G.610–G.619
品上同轴电缆线对 	G.620–G.629
海底电缆	G 630–G 639
自由空间光学系统	G.640–G.649
	G.650–G.659
光导纤维缆	0.000
光部件和子系统的特性	G.660-G.679
光学系统的特性	G.680-G.699
数字终端设备	G.700–G.799
数字网	G.800-G.899
数字段和数字线路系统	G.900–G.999
多媒体服务质量和性能 — 一般和与用户相关的概况	G.1000-G.1999
传输媒质的特性	G.6000-G.6999
数字终端设备	G.7000-G.7999
分组传送网	G.8000-G.8999
接入网	G.9000-G.9999

欲了解更详细信息,请查阅ITU-T建议书目录。

# ITU-T G.698.1 建议书

# 具有单路光接口的多路DWDM应用

#### 摘要

ITU-T G.698.1建议书提供主要在大城市应用的密集波分复用(DWDM)系统的物理层接口的光参数值。为在DWDM系统内光发送器和光复用器之间以及光接收器和光分用器之间在单路连接点使用的光接口参数规定各种应用。本建议书采用的方法是择定复用器/分用器和相联光纤的最大衰减却不明确规定光纤链路的最大长度。本建议书的这个版本包括具有100 GHz通路频率间隔的2.5和10 Gbit/s DWDM单向应用以及具有50GHz通路频率间隔的10Gbit/s应用。

ITU-T G.698.1建议书 最新版本包含有黑链路中的光分/插复用器(OADMS)的使用。

# 历史

版本	建议书	通过时间	研究组
1.0	ITU-T G.698.1	2005-06-29	15
2.0	ITU-T G.698.1	2006-12-14	15
3.0	ITU-T G.698.1	2009-11-13	15

#### 前言

国际电信联盟(ITU)是从事电信领域工作的联合国专门机构。ITU-T(国际电信联盟电信标准化部门)是国际电信联盟的常设机构,负责研究技术、操作和资费问题,并且为在世界范围内实现电信标准化,发表有关上述研究项目的建议书。

每四年一届的世界电信标准化全会(WTSA)确定ITU-T各研究组的研究课题,再由各研究组制定有关这些课题的建议书。

WTSA第1号决议规定了批准建议书须遵循的程序。

属ITU-T研究范围的某些信息技术领域的必要标准,是与国际标准化组织(ISO)和国际电工技术委员会(IEC)合作制定的。

注

本建议书为简要而使用的"主管部门"一词,既指电信主管部门,又指经认可的运营机构。

遵守本建议书的规定是以自愿为基础的,但建议书可能包含某些强制性条款(以确保例如互操作性或适用性等),只有满足所有强制性条款的规定,才能达到遵守建议书的目的。"应该"或"必须"等其它一些强制性用语及其否定形式被用于表达特定要求。使用此类用语不表示要求任何一方遵守本建议书。

#### 知识产权

国际电联提请注意:本建议书的应用或实施可能涉及使用已申报的知识产权。国际电联对无论是其成员还是建议书制定程序之外的其它机构提出的有关已申报的知识产权的证据、有效性或适用性不表示意见。

至本建议书批准之日止,国际电联尚未收到实施本建议书可能需要的受专利保护的知识产权的通知。但需要提醒实施者注意的是,这可能不是最新信息,因此大力提倡他们查询电信标准化局(TSB)的专利数据库,网址为http://www.itu.int/ITU-T/ipr/。

#### © 国际电联 2015

版权所有。未经国际电联事先书面许可,不得以任何手段复制本出版物的任何部分。

# 目录

1	范围.	
2	参考と	文献
3	术语和	印定义
	3.1	其他建议书中规定的术语
	3.2	本建议书中规定的术语
4	缩写和	和首字母缩写
5	光接口	口分类
	5.1	应用
	5.2	参考点
	5.3	命名法
	5.4	在参考点SS和RS的单路接口
6	横向非	兼容性
7	参数是	定义
	7.1	一般资料
	7.2	在 <b>S</b> s点的接口
	7.3	从SS到RS的光通道参数(单段)
	7.4	在 <b>R</b> s点的接口
8	参数的	內值
9	光安全	全性考虑
附录	I 链路	8中支持的OADMs数
	I.1	概述
	I.2	最大通路介入损耗
	I.3	最大波动
	I.4	最大色散
	I.5	反射
	I.6	最大微分群延时
	I.7	最大相干串话
余老	土土日	

### ITU-T G.698.1 建议书

# 具有单路光接口的多路DWDM应用

#### 1 范围

本建议书的目的是为主要供大城市应用的横向兼容的密集波分复用(DWDM)系统提供光接口规范。

本建议书采用"黑链路"方法规定和提供在单模光纤上实际的点到点和环DWDM应用 (传输距离范围约为30 km到80 km)的单路光接口参数值。

但是,本建议书现在不规范在"黑链路"中含有放大器的应用。

本建议书说明的DWDM系统具有下列特性:

- 一 通路频率间隔: 50 GHz及以上(在ITU-T G.694.1建议书中规定);
- 一 信号通路的比特率:最高10 Gbit/s。

按应用代码编排各个规范。

### 2 参考文献

下列ITU-T建议书和其他参考文献的条款,通过在本建议书中的引用而构成本建议书的条款。在出版时,所指出的版本是有效的。所有的建议书和其他参考文献都面临修订,使用本建议书的各方应探讨使用下列建议书和其他参考文献最新版本的可能性。当前有效的ITU-T建议书清单定期出版。本建议书中引用某个独立文件,并非确定该文件具备建议书的地位。

[ITU-T G.652] ITU-	T G.652 建议书(2005),	单模光纤和光缆的特性.
--------------------	--------------------	-------------

[ITU-T G.653] ITU-T G.653建议书(2006), 色散位移单模光纤和光缆特性.

[ITU-T G.655] ITU-T G.655建议书(2006), 非零色散位移单模光纤和光缆特性.

[ITU-T G.664] ITU-T G.664建议书(2006), 光传送系统的光安全规程和需求.

[ITU-T G.671] ITU-T G.671建议书(2009), 光部件和子系统的传输特性...

[ITU-T G.691] ITU-T G.691建议书(2006), 具有光放大器的单路STM-64和其他SDH系统的光接口.

[ITU-T G.691] ITU-T G.692 建议书(1998), 有光放大器的多路系统的光接口.

[ITU-T G.694.1] ITU-T G.694.1建议书(2002), WDM应用的光谱网格; DWDM频率网格.

[ITU-T G.698.2] ITU-T G.698.2建议书(2009), 具有单路光接口的增强的多路密集波分复用

应用.

[ITU-T G.709] ITU-T G.709/Y.1331建议书(2003), 光传送网络(OTN)接口.

[ITU-T G.957] ITU-T G.957建议书(2006),与同步数字序列相关的设备和系统的光接口.

[ITU-T G.959.1] ITU-T G.959.1建议书(2008), 光传送网络物理层接口.

[IEC 60825-1] IEC 60825-1(2007), Safety of laser products – Part 1: Equipment

classification and requirements.

[IEC 60825-2] IEC 60825-2(2007), Safety of laser products – Part 2: Safety of optical fibre

communication systems (OFCS).

#### 3 术语和定义

#### 3.1 其他建议书中规定的术语

本建议书使用其他处定义的下列术语:

- **3.1.1** channel insertion loss 通路介入损耗 [ITU-T G.671]
- **3.1.2** channel spacing 通路间隔[ITU-T G.671]
- **3.1.3** completely standardized OTUk 完全标准化的OTUk (OTUk) [ITU-T G.709]
- **3.1.4 dense wavelength division multiplexing (DWDM) device** 密集波分复用(DWDM)设备 [ITU-T G.671]
- **3.1.5 differential group delay** 微分群延时[ITU-T G.671]
- **3.1.6** requency grid 频率格栅[ITU-T G.671]
- **3.1.7 oint engineering** 联合工程[ITU-T G.957]
- **3.1.8** ptical tributary signal 光分支信号[ITU-T G.959.1]
- **3.1.9** ptical tributary signal class NRZ 10G 光分支信号等级NRZ 10G [ITU-T G.959.1]
- **3.1.10** ptical tributary signal class NRZ 2.5G 光分支信号等级NRZ 2.5G[ITU-T G.959.1]
- **3.1.11** eflectance 反射[ITU-T G.671]
- **3.1.12 ipple** 波动[ITU-T G.671]
- 3.1.13 transverse compatibility 横向兼容性[ITU-T G.957]

#### 3.2 本建议书中规定的术语

本建议书未规定任何术语。

#### 4 缩写和首字母缩写

本建议书采用下列缩写:

ASE 放大自发发射

BER 比特差错比

DGD 微分群延时

2 ITU-T G.698.1建议书 (11/2009)

EX 消光比

FEC 前向纠错

NA 不用

NE 网元

NRZ 不归零

OA 光放大器

OADM 光分/插复用器

OD 光分用器

OM 光复用器

ONE 光网元

OTUk 完全标准化的光通路传送单元-k

PMD 偏振模色散

RPR 在DWDM网元集合输入处链路参考点

RPs 在DWDM网元集合输出处链路参考点

Rs 在DWDM网元分支输出处单路参考点

Ss 在DWDM网元分支输入处单路参考点

WDM 波分复用

#### 5 光接口分类

#### 5.1 应用

本建议书规定在实际点对点和环应用中DWDM多路光系统的单路接口的物理层参数和值。这些具有单路接口的DWDM系统主要打算用于针对各种客户、业务和协议的大城市通信网。

本建议书采用"黑链路"方式规范参数,意思是只规范(单路)光分支信号的光接口参数。对诸如最大衰减、颜色色散、波动和偏振模色散等黑链路参数给出补充的规范。这个方法能够获得在利用直接波长复用配置的单路点处的横向兼容性。然而,它不能获得在多路点处的横向兼容性。在这个方法中,OM和OD被当作单组光器件来处理,也可以包含OADMs。

本建议书现在只考虑不含有光放大器的黑链路的DWDM应用。

#### 5.2 参考点

#### 5.2.1 单向应用

图5-1示出使用线性的"黑链路"方法在发送器(Tx)和接收器(Rx)之间单路连接的一组参考点(SS和RS)。在这里DWDM网元包括OM和OD,它们被当作一对相反的网元使用,也可以包含一个或多个OADMs。

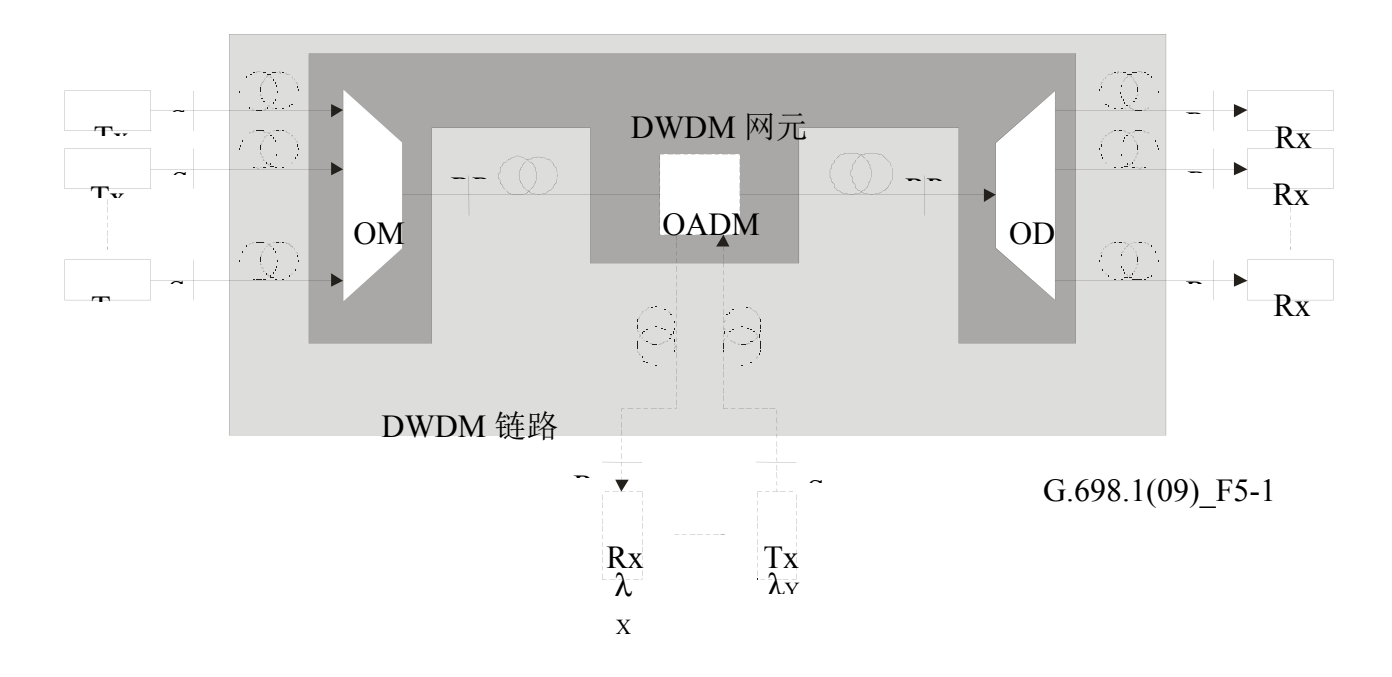


图5-1一线性的"黑链路"方法

如图5-1所示,在传送器和接收与OM、OD或OADM有一定的距离的情况下,点Ss或Rs与DWDM网元之间的光纤被认为是黑链路的一部分。

图5-2给出了用于发送器(Tx)和接收器(Rx)之间的单通路连接(Ss和Rs)的环"黑链路"的方法的相应参考点集。此处,DWDM网元包括环中连接的两个或多个OADMs。

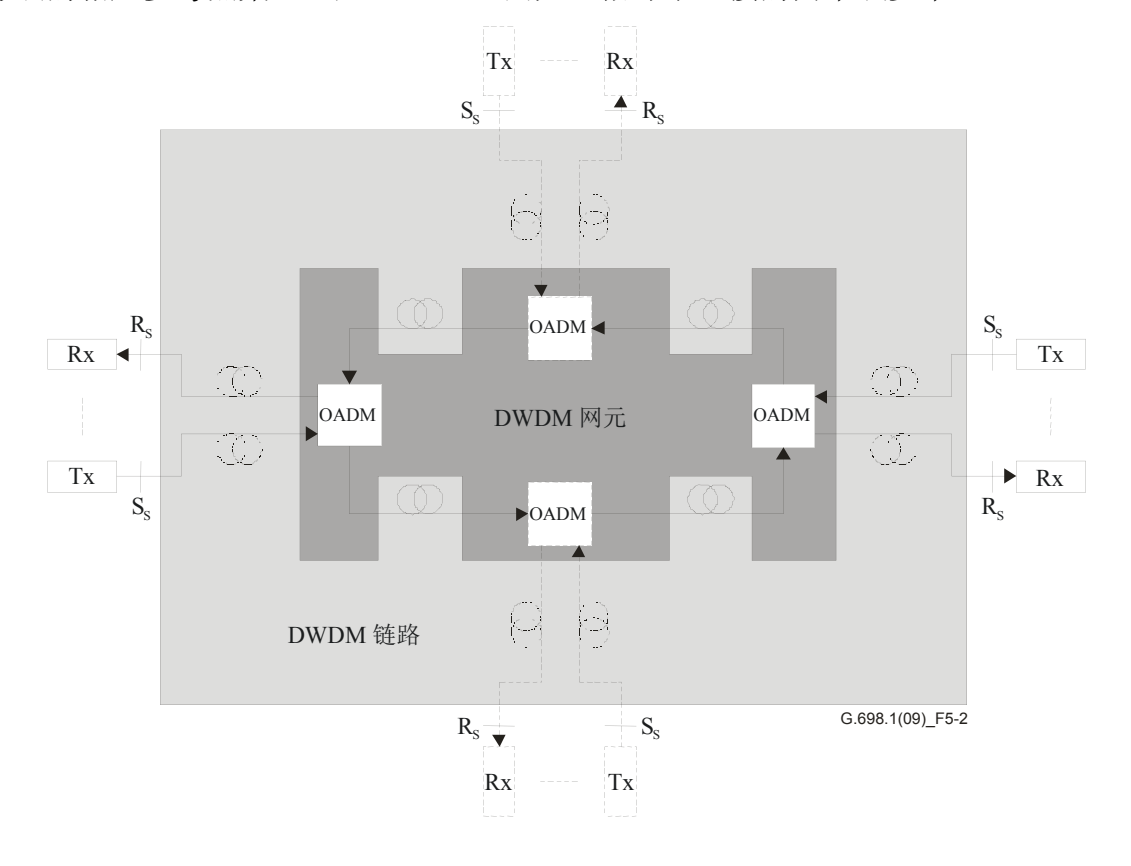


图5-2一环"黑链路"方法

这些参考模型不包含DWDM系统中的任何光放大器。图5-1和图5-2中的参考点定义如下:

- 一 SS是DWDM网元支路输入处单路参考点;
- 一 RS是DWDM网元支路输出处单路参考点;
- 一 RPS是DWDM网元集合输出处链路参考点;
- RPR是DWDM网元集合输入处链路参考点。

此处,从Ss到其相应的Rs每一条通路必须遵循应用码的参数值的(线性或环)"黑链路"方法的系统使用单通道参考点Ss和Rs。

注意,规定RPs和RPR只是为了获得光纤链路的资料并不提供这些点处的信号特征。

#### 5.2.2 双向应用

虽然本建议书现在不包括任何双向应用,但希望在未来的版本中将它们增加进去。图5-3示出使用单纤双向线性"黑链路"方法的一组在发送器(Tx)和接收器(Rx)之间单路连接的参考点( $S_S$ 和 $R_S$ )。在这里DWDM网元包括OM/OD,它们被当作一对相反的单元使用,也可以包含一个或多个OADMs。

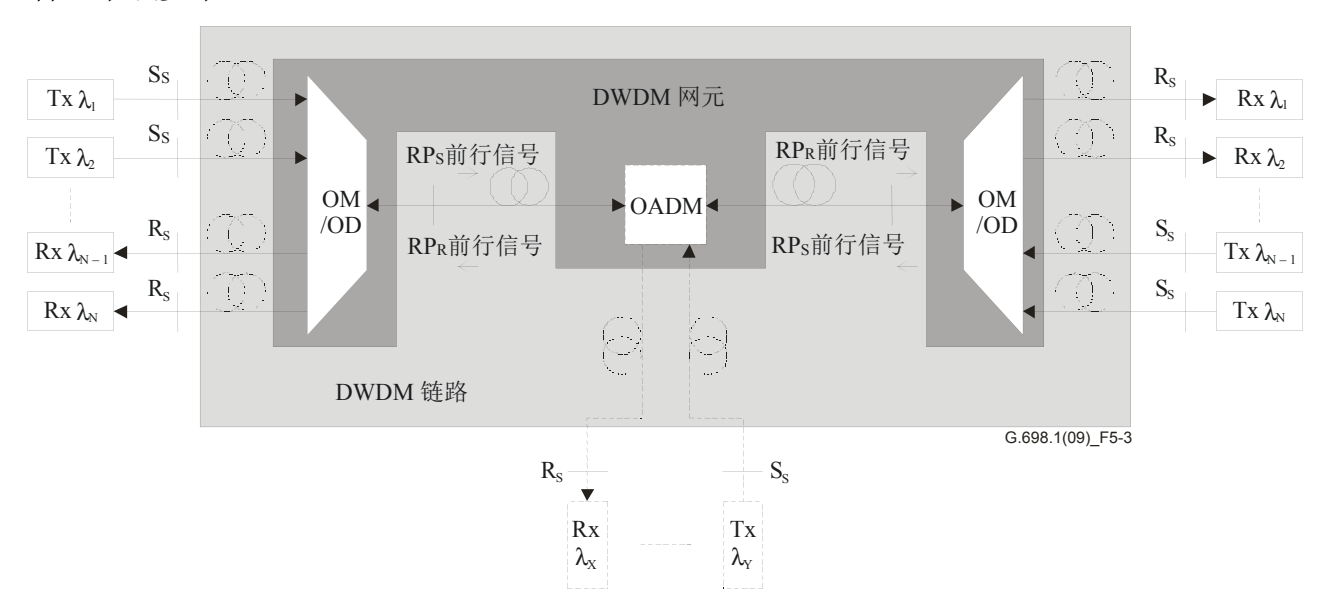


图5-3一应用的线性"黑链路"方法

图5-4 给出了用于单光纤双向环"黑链路"方法的参考点集,这些参考点集用于发送器 (Tx)和接收器(Rx)之间的单通路连接(Ss和Rs)。此处,环中DWDM网元包含连接的两个或多个OADMs。

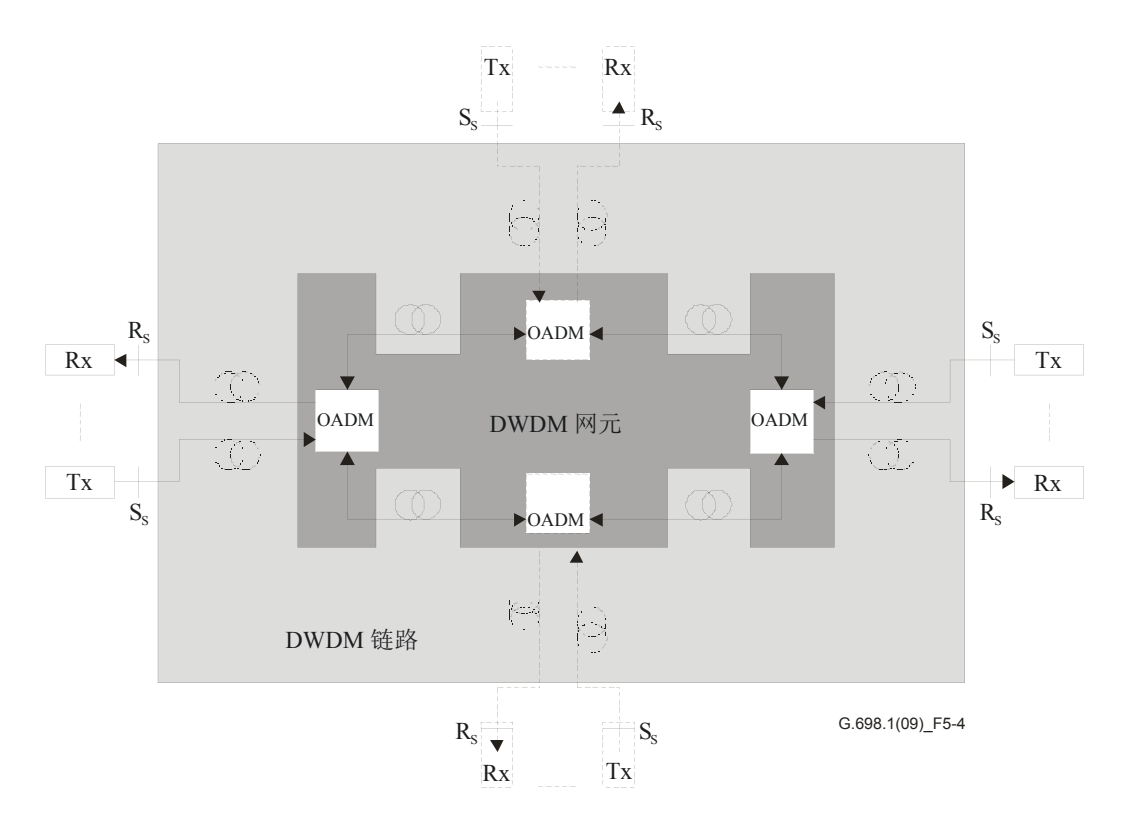


图5-4一用于双向应用的环"黑链路"方法

图5-3和图5-4中参考点的定义在5.2.1。

# 5.3 命名法

应用代码辨识应用的网络、实现方式和架构特征。 应用代码构成如下:

DScW-ytz (v)

其中:

- **D** 是DWDM应用的指示符。
- S 指示最大频谱偏移的选项,如:
  - 一N 指示窄的频谱偏移;
  - 一**W** 指示宽的频谱偏移。
- c 是通路间隔,以GHz为单位。
- W 是指示段距离的字母,如:
  - $-\mathbf{S}$  指示短距离:
  - 一L 指示长距离。
- x 是应用代码内允许的最大段数。
- v 指示所支持的光支路信号的最高等级:
  - —1 指示NRZ 2.5G;
  - 一2 指示NRZ 10G。
- t 指示应用代码所支持的配置的字母:

- $-\mathbf{D}$ 指示黑链路不含有任何光放大器。
- z 指示光纤类型,如:
  - <del>-2</del> 指示ITU-T G.652光纤;
  - <del>-3</del> 指示ITU-T G.653光纤;
  - 指示ITU-T G.655光纤。 <del>-5</del>
- v 指示工作波长范围,用波段(参见b-ITU-T G-Sup.39)表示:

V	描述符	标称波长范围 (nm)	
S	短距离	1460 到 1530	
С	常规的	1530 到 1565	
L	长距离	1565 到 1625	

如果使用一个以上波段,v就变成用"+"号隔开的各个波段的字母组合,例如需要使用 C和L波段的应用, v就是"C+L"。

注 一 在这里给出的标称波段范围是用于分类而不用作指标。每种应用的实际最大和最小波长应当从 该应用的最大和最小通路频率计算得出。

在应用代码的前头添加字母B指示双向系统。DWDM应用代码就是:

#### B-DScW -ytz (v)

对于某些应用代码,在代码的结尾添加后缀。目前只定义了后缀:

F指示这个应用需要发送G.709/Y.1331建议书规定的FEC字节。

#### 在参考点SS和RS的单路接口 5.4

图5-1至图5-4所示,表8-1到表8-5中描述的单路接口希望能在如图5-1至5-4所示的 DWDM链路(OM、光纤和OD)的入口/出口点的单路接口具有横向兼容性。

在第6节可以找到与横向兼容性有关的更多要求。

表5-1归纳了按5.3节的命名法构成的单路应用代码。

表5-1一应用分类

应用	短距离(S)	长距离(L)	
光纤类型	G.652, G.653, G.655	G.652, G.653, G.655	
光分支信号等级NRZ 2.5G	DN100S-1D2(C), DW100S-1D2(C), DN100S-1D3(L), DW100S-1D3(L), DN100S-1D5(C), DW100S-1D5(C)	DN100L-1D2(C), DW100L-1D2(C), DN100L-1D3(L), DW100L-1D3(L), DN100L-1D5(C), DW100L-1D5(C)	

表 5-1一应用分类

应用	短距离(S)	长距离(L)	
光纤类型	G.652, G.653, G.655	G.652, G.653, G.655	
能用FEC的OTU1	DN100S-1D2(C)F, DW100S-1D2(C)F, DN100S-1D3(L)F, DW100S-1D3(L)F, DN100S-1D5(C)F, DW100S-1D5(C)F	DN100L-1D2(C)F, DW100L-1D2(C)F, DN100L-1D3(L)F, DW100L-1D3(L)F, DN100L-1D5(C)F, DW100L-1D5(C)F	
光分支信号等级NRZ 10G	DN100S-2D2(C), DN100I DW100S-2D2(C), DW100I DN100S-2D3(L), DN100I DW100S-2D3(L), DW100I DN100S-2D5(C), DN100I DW100S-2D5(C) DW100I DN50S-2D2(C), DN50I DN50S-2D3(L), DN50I DN50S-2D5(C) DN50I		
能用FEC的OTU2	DN100S-2D2(C)F, DW100S-2D2(C)F, DN100S-2D3(L)F, DW100S-2D3(L)F, DN100S-2D5(C)F, DW100S-2D5(C)F DN50S-2D2(C)F, DN50S-2D3(L)F, DN50S-2D5(C)F	DN100L-2D2(C)F, DW100L-2D2(C)F, DN100L-2D3(L)F, DW100L-2D3(L)F, DN100L-2D5(C)F, DW100L-2D5(C)F DN50L-2D2(C)F, DN50L-2D3(L)F, DN50L-2D3(L)F, DN50L-2D5(C)F	

在本建议书的表8-1到8-5规范具有单路接口的无放大多路系统。

### 6 横向兼容性

本建议书规范参数是为了在"黑链路"法DWDM NE的单路参考点Ss和Rs能够具有横向(多供应商)的兼容性。

单路参考点Ss和Rs企图使DWDM NE的多个支路接口能具有横向兼容性。在这种情况,多个支路信号发送器 $(Tx\ \lambda_i)$ 和接收器 $(Rx\ \lambda_i)$ 可能来自不同的供应商。注意,"黑链路"方法的DWDM NE(OM和OD)来自单一的供应商,并认为是单组光器件。

对于正确地具有相同应用代码的"黑链路"方法DWDM NE的所有单路参考点Ss和Rs才能够有横向(多供应商)兼容性。

在同一黑链路上具有不同应用代码的支路接口的共存是联合工程处理的问题。实际上,必须小心对待使之不发生冲突的临界参数,例如,Ss输出功率和Rs输入功率,Ss比特率/线路编码和Rs比特率/线路编码等。

在发送器代码有W(宽频谱偏移)和链路含有N(窄频谱偏移)时,对涉及最大频谱偏移(应用代码中的S指示符,参见5.3节)的应用代码元,发送器的指示符和链路的指示符不一致就会产生不兼容,所有其他组合是横向兼容的。

# 7 参数定义

表7-1中的参数规定在接口点,其定义以下各节给出。

表7-1一使用"黑链路"方法的DWDM应用的物理层参数

参数	单位	定义的章节
一般资料		
最小通路间隔	GHz	7.1.1
光支路信号比特率/线路编码	_	7.1.2
最大比特差错比	_	7.1.3
光纤类型	_	7.1.4
在Ss点的接口		
最大平均通路输出功率	dBm	7.2.1
最小平均通路输出功率	dBm	7.2.1
最小中心频率	THz	7.2.2
最大中心频率	THz	7.2.2
最大频谱偏移	GHz	7.2.3
最小边模抑制比	dB	7.2.4
最小通路消光比	dB	7.2.5
眼图模框	_	7.2.6
从S <sub>s</sub> 到R <sub>s</sub> 点的光通道		
最大通路介入损耗	dB	7.3.1
最小介入衰减	dB	7.3.1
最大波动	dB	7.3.2
最大颜色色散	ps/nm	7.3.3
在Ss最小光回损	dB	7.3.4
S <sub>s</sub> 和R <sub>s</sub> 之间最大离散反射	dB	7.3.5
最大微分群延时	ps	7.3.6
Rs最大通路间串话	dB	7.3.7
R <sub>s</sub> 处的最大相干串话 <sub>s</sub>	dB	7.3.8
在Rs点的接口		
最大平均输入功率	dBm	7.4.1
接收器灵敏度	dBm	7.4.2
最大光通道代价	dB	7.4.3
接收器最大反射	dB	7.4.4

# 7.1 一般资料

# 7.1.1 最小通路间隔

两个相邻通路之间最小标称频率差。在7.2.3节设想了实际频率可能存在的所有容差。

#### 7.1.2 光支路信号的比特率/线路编码

光支路信号等级NRZ 2.5G应用具有不归零线路码,从标称622 Mbit/s到标称2.67 Gbit/s的连续数字信号。光支路信号等级NRZ 10G应用具有不归零线路码,从标称2.4 Gbit/s到标称10.71 Gbit/s的连续数字信号。

#### 7.1.3 最大比特差错比

基于光线路段设计目标的比特差错比(BER)优于应用代码规定的值的原则,规范该参数。这个值适用于在每种应用中光通道衰减和色散条件在极端情况下的每个光通路。在需要发送FEC字节的应用代码(即,具有F后缀的代码)的情况,BER只需要在采用纠错(如果有纠错)之后符合要求。对所有其他应用代码,BER需要满足没有FEC的要求。

#### 7.1.4 光纤类型

从ITU-T G.652、ITU-TG.653和ITU-TG.655建议书中选择单模光纤的类型。

#### 7.2 在Ss点的接口

#### 7.2.1 最大和最小平均通路输出功率

在参考点Ss每个光通路的平均馈入功率是耦合进DWDM链路的伪随机数据序列的平均功率。给它一个范围(最大和最小)以便能容许某些价格上的优化和覆盖标准工作条件下的工作容限、连接器劣化、测量容差和老化效应。

#### 7.2.2 最小和最大中心频率

中心频率是使用NRZ线路码将实际光通路的数字编码信息调制在它上面的标称单路频率。 所有应用的中心频率都处在[ITU-T G.694.1]给出的最小通路间隔应用的频率格栅上。

虽然本建议书不规定每种应用使用的特定中心频率,应用之内的所有通路的标称中心频率应当大于或等于最小中心频率和小于或等于最大中心频率。

注意,在频率和波长之间变换采用的"c"值(光在真空中的速度)是2.99792458×108 m/s。

#### 7.2.3 最大频谱偏移

最大频谱偏移是在Ss点测量的通路的标称中心频率与发射器频谱离开标称中心频率的-15 dB点之间最大可接受的差值。图7-1说明这个定义。

注一发送器频谱的-15 dB点应当使用标称分辨带宽为0.01 nm的仪器测量。

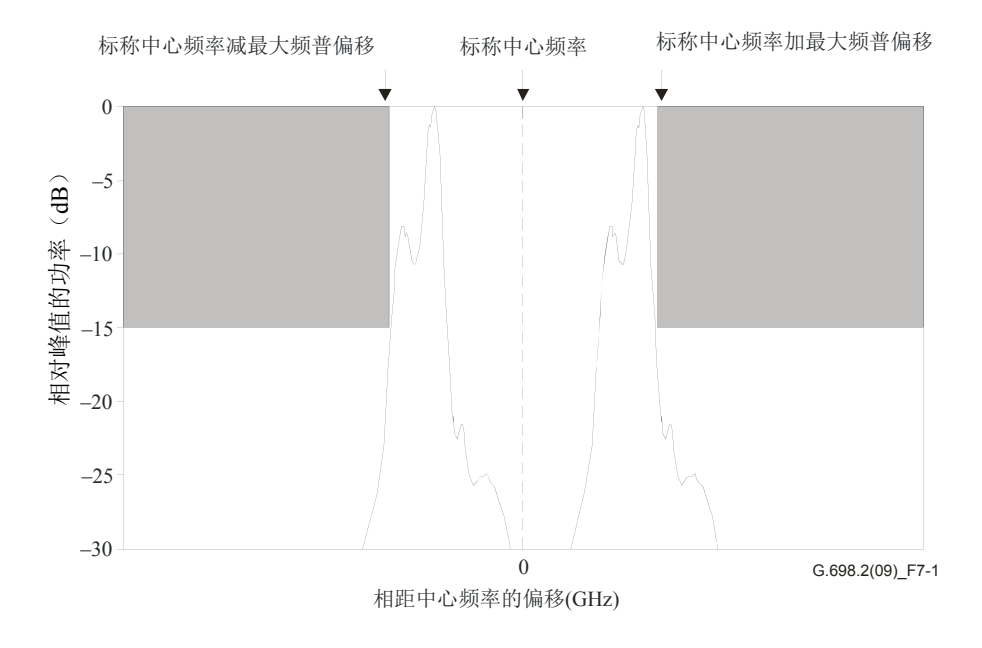


图7-1一最大频谱偏移的说明

这个参数也确定了通路介入损耗和波动指标必须要符合的频率范围。

#### 7.2.4 最小边模抑制比

最小边模抑制比是总发送器频谱的最高峰值对第二个最高峰值之比的最小值。频谱的测 量分辨率应优于峰值的最小频谱宽度,如ITU-T G.691建议书的规定。第二个最高峰值可能 是主峰值之后的下一个,或离它更远。

注一在这个定义中,按时钟频率与最大峰值隔开的频谱峰值不认为是边模。

#### 7.2.5 最小通路消光比

消光比(EX)定义为:

$$EX = 10 \log_{10} (A/B)$$

在上述EX的定义内,A是在逻辑"1"的中央平均光功率电平,B是在逻辑"0"的中央平均 光功率电平。对于光逻辑电平的惯例是:

- 逻辑"1"发射光线;
- 逻辑"0"不发射。

在出现四阶Bessel-Thomson滤波器时,不需要满足最小通道消光比。

#### 7.2.6 眼图模框

在[ITU-T G.959.1]中可找到这个参数的定义和限值。

#### 7.3 从SS到RS的光通道参数(单段)

#### 最大和最小通路介入损耗 7.3.1

通路介入损耗定义在「ITU-T G.671」。对于任何光通路,它是其频率范围在通路中心 频率 ± 最大频谱偏移之内的通路的黑链路的输入和输出端口之间光功率的最小(或最大)减 小量。

介入损耗的指标采用包括下列装备引入的最坏情况值: OM/OD对、接头、连接器、光衰减器(如果有)或其他无源器件,以及为了:

- 1) 光缆配置的今后修改(添加接头、光缆长度增加等);
- 2) 环境因素引起的光缆性能变化;和
- 3) 在Ss和Rs之间可能存在的任何连接器、光衰减器或其他无源光器件的劣化等,所包含的容限需要的任何附加光缆余量。

#### 7.3.2 最大波动

(DWDM设备的)波动规定在[ITU-T G.671]。在本建议书中,它适用于从参考点Rs 到相应的Rs的整个黑链路。对于任何光通路,它是其频率范围在通路中心频率±最大频谱偏移之内的通路的黑链路的输入和输出端口之间介入损耗峰到峰的差值。图7-2说明这个定义。

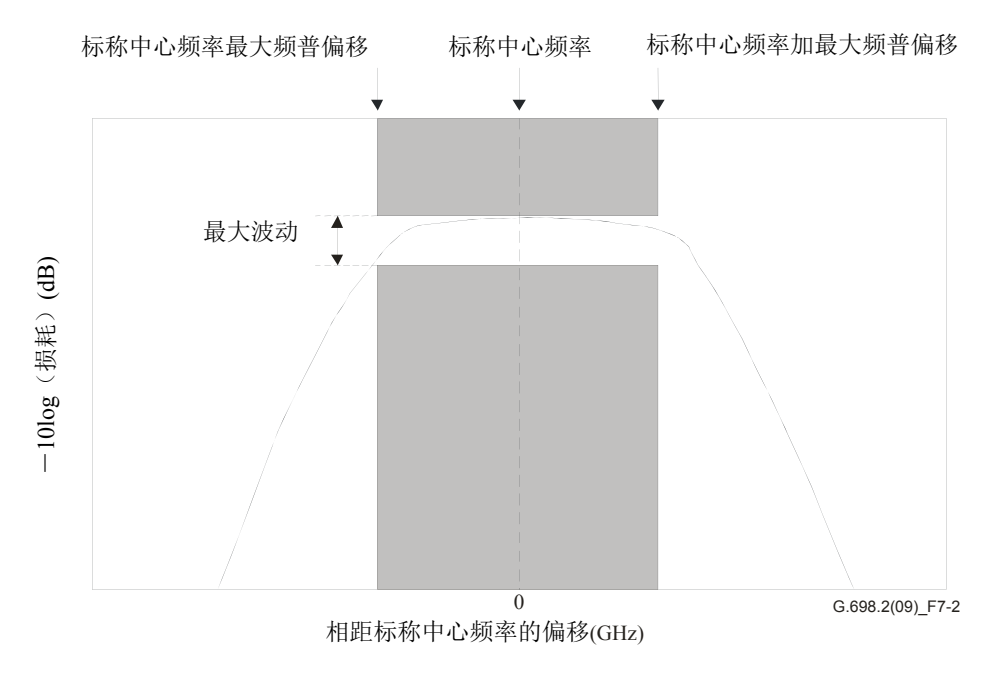


图7-2一最大波动的说明

#### 7.3.3 最大颜色色散

这个参数规定系统能够容许的光通道颜色色散的最大值。这是最坏情况的色散值。对这个参数用最坏情况方法是企图得到一些灵敏度参数的余量和使低损耗光纤链路有可能得以延伸。

表8-1到8-5所列的最大颜色色散值是从每种应用代码支持的最大链路长度的估算(用最大通路介入损耗(并从它减去OM/OD对的容差)除以0.21 dB/km算出)推导出来的。用这个方法得出的色散值比用现代的工程经济的光发送器可适应的值更高,色散值会根据当前技术能力降低,因而这些应用可能是色散限制系统而其他的是损耗受限系统。

允许的光通道代价考虑了颜色色散带来的所有决定性效应以及最大微分群延时带来的代 价。

#### 7.3.4 在SS的最小光回损

由于沿光通道反射率不连续产生反射。如不加以控制,通过它们对光源工作的干扰效应 或通过多重反射在接收器引起干涉噪声,它们能使系统性能劣化。规范下列参数来控制从光 通道来的反射:

- 在光源参考点(Ss)光缆设施,包括任何连接器光缆设施的最小光回损;和
- 光源参考点(Ss)和接收参考点(Rs)之间最大离散反射。

反射表示从任何单个离散反射点来的反射,而光回损是入射光功率与来自整个光纤的总 返回光功率包括离散的反射和例如瑞利散射那样的分布背向散射等在内的总反回光功率之 比。

在「ITU-T G.957] 附录I说明反射的测量方法。为测量反射和回损的目的,假定点Ss和 Rs与每个连接器插头的端面重合。要认识到,这个方法没有包括工作的系统内各个连接器实 际的反射性能。这些反射被假定为具有所用特定类型连接器的标称反射值。

#### 7.3.5 SS和RS之间的最大离散反射

光反射被定义为在一个点存在的反射光功率与射入那个点的光功率之比。在[ITU-T G.957]广泛地讨论了对反射的控制。在光通道(例如配线架OADMs或其他WDM部件)中可 能包含的连接器或其他离散反射点的最大数目,必须是要达到规定的总光回损所能容许的那 么多。如果采用符合第8节的表列出的最大离散反射的连接器做不到这一点,就必须使用反 射性能更好的连接器。替代地,必须减少连接器数目。也可能需要限制连接器数目或使用反 射性能良好的连接器,避免多重反射引入不可能接受的损伤。

在第8节的表中,光源参考点和接收器参考点之间最大离散反射所取的值是为了最小化 多重反射(例如干涉噪声)的影响。最大接收器的反射值要根据能够保证对所有可能的含有 多个连接器等系统配置的多重反射引入的可接受代价达到要求来做出选择。然而,若在一链 路中有多个OADMs时,在表8-1至表8-5中给出的Ss和Rs之间的最大离散反射值可能不能确保 与Ss处的最小光回波损耗。

使用数量少或性能优异的连接器产生较少的多重反射,继而能够容许接收器呈现更高的 反射。

#### 7.3.6 最大微分群延时

微分群延时(DGD)是用两个基本偏振状态传输的光信号的部分脉冲之间的时间差。对于 大于几千米的距离并假定是随机的(强)偏振模耦合,在光纤内DGD能有像麦克斯韦尔分 布那样的统计模式。

在本建议书中,最大微分群延时定义为系统的灵敏度最大劣化1 dB所必须容忍的DGD值。

由于偏振模色散(PMD)的统计性质,最大DGD和平均DGD之间的关系只能以统计方式规定。瞬时DGD超过任何给定值的概率能够用它的麦克斯韦尔统计推定。因而,如果我们知道系统能容忍的最大DGD,我们就能用相应的可接受概率的最大对平均的比值去除它,导出等效的平均DGD。在以下表7-2中给出一些比值的示例。

最大对平均的比值	超过最大的概率
3.0	$4.2 \times 10^{-5}$
3.5	$7.7 \times 10^{-7}$
4.0	$7.4 \times 10^{-9}$

表7-2-DGD的平均值及概率

### 7.3.7 最大通路间串话

这个参数设定遵从"黑链路"方法的链路隔离要求:在最坏工作条件下,在任何参考点 Rs的通路间串话应小于最大通路间串话值。

将通路间串话定义为所有相干通路中的总功率与想要的通路的功率之比,此处想要的和 干扰的通路在不同的波长。

特别是链路的隔离应大于保证下述情况所需要量: 当任何一个光通路工作在Ss点有最小平均输出功率,其余所有通路为最大平均输出功率时,在相应点Rs的通路间串话小于最大通路间串话值。

#### 7.3.8 最大的相干串话

该参数为符合"黑链路"方法的链路的隔离设置了一个需求,以便于在最坏的运行条件下,在任何参考点RS处的相干串话小于最大相干串话值。

将相干串话定义在单一通路中干扰功率与想要的功率之间的比值,此处干扰功率是指在 其他所有的链路条件均相同的情况下,若想要的信号从该链路上移除后,保留在光纤通路中 的功率(包括ASE)。

特别地,该链路的隔离应大于需要的量以确保当任何通路在点Ss处以最小平均输出功率运行,同时所有其他功率处于最大平均输出功率时,在相应点Ss的相干串话小于最大相干串话值。

#### 7.4 在Rs点的接口

#### 7.4.1 最大平均输入功率

为获得应用代码的规定最大BER,在点Rs平均接收通路功率的最大可接收值。

### 7.4.2 接收器灵敏度

接收器灵敏度规定为要获得BER为10<sup>-12</sup>在点Rs的平均接收功率的最小值。这个指标针对眼图模框是最坏情况值的发送器、消光比、Ss点的光回损、接收器连接器劣化和测量容差等产生的效应。接收器灵敏度不必应付存在来自光通道的色散、反射或光串话的情况,因为这些效应分别在最大光通道代价的配额中规范。

注 一 接收器灵敏度不必应付存在发送器抖动超过合适的抖动产生限值(例如, [ITU-T G.8251]关于 OTN光分支信号)的情况。

老化效应不单独规范,因为它们是网络运营商与设备制造商之间要协调的典型问题。

#### 最大光通道代价

通道代价是由于信号在通道上传输期间其波形的失真引起的接收器灵敏度的视在下降。 其表现是系统的BER曲线向更高输入功率电平偏移。这相当于正的通道代价。在某些情况可 能存在负的通道代价,但很少有(负的通道代价表示通道有关的失真使比良好的发送器眼图 更差的眼图实际上得到了改善)。理想上,BER曲线应当只会移动,但是,形状的变化很常 见,表示发生了BER基底。因为通道代价随接收器灵敏度变化,应在BER水平为10-12时测 量。

对于本建议书规定的应用,对NRZ 2.5G短距离系统的通道代价极限为1.5 dB,而其他是 2.5 dB。这些极限比其他建议书中之值更高,因为光串话引起额外的代价。

今后,应用基于发送器信号预失真的色散调节技术的系统可能会引入。在这种情况,上 述意义的通道代价只能在信号未失真的两点之间规定。然而,这些点与主通道接口不吻合, 甚至可能无法接入。这种情况的通道代价的定义尚待研究。

在允许的通道代价中已包括PMD引入的随机色散代价的平均值。在这方面,要求发送 器/接收器组合容忍0.3比特周期的实际DGD,按灵敏度最大劣化1 dB(在每个偏振状态的基 本状态有50%的光功率)。对于良好设计的接收器,这相当于对0.1比特周期的DGD代价为 0.1-0.2 dB。在工作中可能会碰到的实际的DGD会随光纤/光缆特性随机变化,本建议书不能 规定。[ITU-T G.691]的附录 I对这一点有进一步的讨论。

注意,由于光放大(本建议书今后的版本会引入)引起的信噪比减小不能看作通道代价。 对采用"黑链路"方法的应用,通道代价包含串话代价。

#### 7.4.4 接收器的最大反射

从接收器反射进DWDM链路的反射用在参考点Rs测得的接收器的最大允许反射来规 范。在[ITU-T G.671]中规定光反射。

#### 8 参数的值

表8-1到8-5给出了物理层参数及其值。

表 8-1-NRZ 2.5G级、100 GHz间隔短距离应用的物理层参数和值

Г					
参数	单位	DN100S-1D2(C) DN100S-1D3(L) DN100S-1D5(C)	DW100S-1D2(C) DW100S-1D3(L) DW100S-1D5(C)	DN100S-1D2(C)F DN100S-1D3(L)F DN100S-1D5(C)F	DW100S-1D2(C)F DW100S-1D3(L)F DW100S-1D5(C)F
一般资料					
最小通路间隔	GHz	1	00	100	
光支路信号的比特率/线路编码	_	NRZ	Z 2.5G	NRZ ( 能用的	
   最大比特差错比	_	10	$)^{-12}$	$10^{-12}$	
光纤类型	_	G.652, G.	653, G.655	G.652, G.6	1
在S <sub>s</sub> 点的接口					
最大平均通路输出功率	dBm	-	<del>-</del> 4	+4	1
最小平均通路输出功率	dBm		0	0	
最小中心频率	THz		用于 (C) 用于 (L)	191.5,用于(C) 186.0,用于(L)	
最大中心频率	THz	196.2,用于(C) 191.5,用于(L)		196.2,用于(C) 191.5,用于(L)	
最大频谱偏移	GHz	±12.5 ±20		±12.5 ±20	
最小边模抑制比	dB	30		30	
最小通路消光比	dB	8.2		8	2
眼图模框	_		Z 2.5G NRZ 2.5G -T G.959.1 按ITU-T G.959.1		
从点Ss 到Rs的光通道					
最大通路介入损耗	dB	1	6.5	19.5	
最小通路介入损耗	dB		4	4	
最大波动	dB		2	2	
最大颜色色散	ps/nm	9	50	1200	
在S <sub>s</sub> 的最小光回损	dB	2	24	24	1
Ss 和Rs之间最大离散反射	dB	_	27	-27	
最大微分群延时	ps	1	20	12	
最大通路间串话	dB	-15		-15	
最大相干串话	dB	-45		-4	5
在Rs点的接口					
最大平均通路输入功率	dBm	0		0	
最小接收器灵敏度	dBm		18	-2	
最大光通道代价	dB	1.5		1	
接收器的最大反射	dB	-27		7	

 $<sup>\</sup>mathtt{i}$  一 这些应用代码的BER只需要在误码校正(如果采用)之后满足。因而,在FEC解码输入处BER可以比 $10^{-12}$ 稍为高些。

表 8-2-NRZ 2.5G级、100 GHz间隔长距离应用的物理层参数和值

参数	单位	DN100S-2D2(C) DN100S-2D3(L) DN100S-2D5(C)	DW100S-2D2(C) DW100S-2D3(L) DW100S-2D5(C)	DN100S-2D2(C)F DN100S-2D3(L)F DN100S-2D5(C)F	DW100S-2D2(C)F DW100S-2D3(L)F DW100S-2D5(C)F
一般资料					
最小通路间隔	GHz	10	0	100	0
光支路信号的比特率/线路编码	_	NRZ 2	2.5G	NRZ C 能用的	
最大比特差错比	_	10-	-12	$10^{-12}$ (3)	注 1)
光纤类型	_	G.652, G.6	53, G.655	G.652, G.65	53, G.655
在Ss点的接口					
最大平均通路输出功率	dBm	+4	1	+4	
最小平均通路输出功率	dBm	0		0	
最小中心频率	THz	191.5,用于(C) 186.0,用于(L)		191.5,用于(C) 186.0,用于(L)	
最大中心频率	THz		196.2,用于(C) 191.5,用于(L)		用于(C) 用于(L)
最大频谱偏移	GHz	±12.5 ±20		±12.5	±20
最小边模抑制比	dB	30	)	30	)
最小通路消光比	dB	8.2	2	8.2	2
眼图模框	_	NRZ 2.5G G.95		NRZ 2.5G G.95	
从点Ss 到Rs的光通道					
最大通路介入损耗	dB	25.5 28.5		5	
最小通路介入损耗	dB	13	3	13	
最大波动	dB	2		2	
最大颜色色散	ps/nm	1400(注2)		1600	
在Ss的最小光回损	dB	24	24		
Ss 和Rs之间最大离散反射	dB	-2	-27 -27		7
最大微分群延时	ps	12	120 120		0
最大通路间串话	dB	-16		-16	
最大相干串话	dB	-4	5	-45	

表 8-2-NRZ 2.5G级、100 GHz间隔长距离应用的物理层参数和值

参数	单位	DN100S-2D2(C) DN100S-2D3(L) DN100S-2D5(C)	DW100S-2D2(C) DW100S-2D3(L) DW100S-2D5(C)	DN100S-2D2(C)F DN100S-2D3(L)F DN100S-2D5(C)F	DW100S-2D2(C)F DW100S-2D3(L)F DW100S-2D5(C)F	
在Rs点的接口						
最大平均通路输入功率	dBm	_9 _9		)		
最小接收器灵敏度	dBm	-28		-28 -31		
最大光通道代价	dB	2.5		2.5		5
接收器的最大反射	dB	-27 -27		7		

 $<sup>\</sup>ge 1$  一 这些应用代码的BER只需要在误码校正(如果采用)之后满足。因而,在FEC解码输入处BER可以比 $10^{-12}$ 稍为高些。

表 8-3-NRZ 10G级、100 GHz间隔短距离应用的物理层参数和值

参数	单位	DN100S-2D2(C) DN100S-2D3(L) DN100S-2D5(C)	DW100S-2D2(C) DW100S-2D3(L) DW100S-2D5(C)	DN100S-2D2(C)F DN100S-2D3(L)F DN100S-2D5(C)F	DW100S-2D2(C)F DW100S-2D3(L)F DW100S-2D5(C)F
一般资料					
最小通路间隔	GHz	100		10	0
光支路信号的比特率/线路编码	_	NRZ 10	)G	NRZ OTU2 能用的FEC	
最大比特差错比	_	$10^{-12}$		10 <sup>-12</sup> (注)	
光纤类型	_	G.652, G.653, G.655		G.652, G.6	53, G.655
在Ss点的接口					
最大平均通路输出功率	dBm	+3		+3	
最小平均通路输出功率	dBm	-1		-1	
最小中心频率	THz	191.5,用于(C) 186.0,用于(L)		191.5,用于(C) 186.0,用于(L)	
最大中心频率	THz	196.2,用于(C) 191.5,用于(L)		196.2,用于(C) 191.5,用于(L)	
最大频谱偏移	GHz	±12.5	±20	±12.5	±20

注2 一 在最大比特率限制在2.488 Gbit/s (STM-16)的情况,最大颜色色散采用1600 ps/nm。

表 8-3-NRZ 10G级、100 GHz间隔短距离应用的物理层参数和值

参数	单位	DN100S-2D2(C) DN100S-2D3(L) DN100S-2D5(C)	DW100S-2D2(C) DW100S-2D3(L) DW100S-2D5(C)	DN100S-2D2(C)F DN100S-2D3(L)F DN100S-2D5(C)F	DW100S-2D2(C)F DW100S-2D3(L)F DW100S-2D5(C)F
最小边模抑制比	dB	30		30	
最小通路消光比	dB	8.2		8.2	2
眼图模框	_	NRZ 10 1550 nm区域, G.959.	按 ITU-T	NRZ 1550 nm区域 G.95	,按 ITU-T
从点Ss 到Rs的光通道					
最大通路介入损耗	dB	18.5		21.5	
最小通路介入损耗	dB	10		10	
最大波动	dB	2		2	
最大颜色色散	ps/nm	1100		140	0
在Ss的最小光回损	dB	24		24	
S <sub>s</sub> 和R <sub>s</sub> 之间最大离散反射	dB	-27		-27	
最大微分群延时	ps	30		30	
最大通路间串话	dB	-16		-16	
最大相干串话	dB	-45		-45	5
在Rs点的接口					
最大平均通路输入功率	dBm	-7		<b>-7</b>	
最小接收器灵敏度	dBm	-22		-25	
最大光通道代价	dB	2.5		2.5	
接收器的最大反射	dB	-27		-2°	7

注 一 这些应用代码的BER只需要在误码校正(如果采用)之后满足。因而,在FEC解码输入处BER 可以比10-12稍为高些。

表 8-4-NRZ 10G级、100 GHz间隔长距离应用的物理层参数和值

参数	单位	DN100L-2D2(C) DN100L-2D3(L) DN100L-2D5(C)	DW100L-2D2(C) DW100L-2D3(L) DW100L-2D5(C)	DN100L-2D2(C)F DN100L-2D3(L)F DN100L-2D5(C)F	DW100L-2D2(C)F DW100L-2D3(L)F DW100L-2D5(C)F
一般资料					
最小通路间隔	GHz	100		100	)
光支路信号的比特率/线路编码	_	NRZ 10	)G	NRZ C 能用的	
最大比特差错比	_	$10^{-12}$		$10^{-12}$ (	(注)
光纤类型	_	G.652, G.653	3, G.655	G.652, G.65	53, G.655
在Ss点的接口					
最大平均通路输出功率	dBm	+6		+6	•
最小平均通路输出功率	dBm	+3		+3	
最小中心频率	THz	191.5,用 186.0,用	` ′	191.5,用于(C) 186.0,用于(L)	
最大中心频率	THz	196.2,用 191.5,用		196.2,用于(C) 191.5,用于(L)	
最大频谱偏移	GHz	±12.5	±20	±12.5	±20
最小边模抑制比	dB	30		30	1
最小通路消光比	dB	9		9	
眼图模框	_	NRZ 10G 1550 nm区域,按ITU-T G.959.1		NRZ 10G 1550 nm区域,按 ITU-T G.959.1	
从点Ss 到Rs的光通道					
最大通路介入损耗	dB	24.5		27.5	
最小通路介入损耗	dB	13		13	
最大波动	dB	2		2	
最大颜色色散	ps/nm	1600		1700	
在Ss的最小光回损	dB	24		24	
Ss 和Rs之间最大离散反射	dB	-27		-27	
最大微分群延时	ps	30		30	
最大通路间串话	dB	-16		-16	
最大相干串话	dB	-45		<b>-4</b> :	)

表 8-4-NRZ 10G级、100 GHz间隔长距离应用的物理层参数和值

参数	单位	DN100L-2D2(C) DN100L-2D3(L) DN100L-2D5(C)	DW100L-2D2(C) DW100L-2D3(L) DW100L-2D5(C)	DN100L-2D2(C)F DN100L-2D3(L)F DN100L-2D5(C)F	DW100L-2D2(C)F DW100L-2D3(L)F DW100L-2D5(C)F	
在Rs点的接口						
最大平均通路输入功率	dBm	_ <del>7</del>		,		
最小接收器灵敏度	dBm	-24		-24 -27		7
最大光通道代价	dB	2.5		2.5		5
接收器的最大反射	dB	-27		7		

注一 这些应用代码的BER只需要在误码校正(如果采用)之后满足。因而,在FEC解码输入处BER 可以比10-12稍为高些。

表8-5-NRZ 10G级、50 GHz间隔长距离应用的物理层参数和值

参数	单位	DN50S-2D2(C) DN50S-2D3(L) DN50S-2D5(C)	DNS0L-2D2(C) DNS0L-2D3(L) DNS0L-2D5(C)	DN50S-2D2(C)F DN50S-2D3(L)F DN50S-2D5(C)F	DN50L-2D2(C)F DN50L-2D3(L)F DN50L-2D5(C)F
一般资料					
最小通路间隔	GHz	50	)		50
光支路信号的比特率/线路编码	_	NRZ 10G		NRZ OTU2 能用的FEC	
最大比特差错比	_	$10^{-12}$		10 <sup>-12</sup> (Note 1)	
光纤类型	_	G.652, G.653, G.655		G.652, G.653, G.655	
在Ss点的接口					
最大平均通路输出功率	dBm	+3	+6	+3	+6
最小平均通路输出功率	dBm	-1	+3	-1	+3
最小中心频率	THz	191.5 for (C) 186.0 for (L) 191.5 for (C) 186.0 for (L)		` '	
最大中心频率	THz	196.2 for (C) 191.5 for (L)		196.2 for (C) 191.5 for (L)	
最大频谱偏移	GHz	±12.5 (±11 Note 2)		±12.5 (±11 Note 2)	
最小边模抑制比	dB	30		30	
最小通路消光比	dB	8.2	9	8.2	9

表8-5-NRZ 10G级、50 GHz间隔长距离应用的物理层参数和值

参数	单位	DN50S-2D2(C) DN50S-2D3(L) DN50S-2D5(C)	DNS0L-2D2(C) DNS0L-2D3(L) DNS0L-2D5(C)	DN50S-2D2(C)F DN50S-2D3(L)F DN50S-2D5(C)F	DN50L-2D2(C)F DN50L-2D3(L)F DN50L-2D5(C)F
眼图模框	_	NRZ 10G 15 按ITU-T			550 nm 区域按 `G.959.1
从点Ss 到Rs的光通道					
最大通路介入损耗	dB	18.5	24.5	21.5	27.5
最小通路介入损耗	dB	10	13	10	13
最大波动	dB	2		2	
最大颜色色散	ps/nm	1100	1600	1400	1700
在Ss的最小光回损	dB	24	1		24
Ss 和Rs之间最大离散反射	dB	-2	7	-	-27
最大微分群延时	ps	30	)		30
最大通路间串话	dB	-1	6	-	-16
最大相干串话	uD				
	dB	-4	5	-	-45
在R <sub>s</sub> 点的接口					
最大平均通路输入功率	dBm	-7	i		<del>-</del> 7
最小接收器灵敏度	dBm	-22	-24	-25	-27
最大光通道代价	dB	2.:	5		2.5
接收器的最大反射	dB	-2	7	-	–27

 $<sup>\</sup>gtrsim 1$ 一 这些应用代码的BER只需要在误码校正(如果采用)之后满足。因而,在FEC解码输入处BER可以比 $10^{-12}$ 稍为高些。

# 9 光安全性考虑

关于光安全性考虑参见 ITU-T G.664建议书、IEC 60825-1和IEC 60825-2。

注2- 为将通用的传送器应用于该应用同时也应用于[ITU-T G.698.2]50GHz通路间隔10Gbit/s应用码,传送器的最大光消除需要被降低到 $\pm$ 11 GHz,在这种情况下,黑链路的波动规范的宽度可以被降低到 $\pm$ 11 GHz。

### 附录I

# 链路中支持的OADMs数

(该附录不是建议书的组成部分)

#### **I.1** 概述

一条链路中能够支持的最大的OADMs数量以及链路的最大长度由描述Ss和Rs之间的光 路径特征的参数限制(详见表8-1至8-5)。

在该附件中,某些指标采用评估一条链路中能够支持的OADMs的最大数量和该链路自 身最大长度的方式给出。

### I.2 最大通路介入损耗

表8-1至8-5中标识的"最大通路介入损耗"的值包括OM/OD设备、OADMs和光纤的衰 减。

可以采用如下方式计算OADMs的最大数:

注-OADM的衰减与其类型密切相关(规定的、可配置的,等等)。

若已知所需的OADMs数,可以再设置该限制以建立最大的光纤长度。

#### **I.3** 最大波动

最大波动也可能对DWDM系统中OADMs的级联数附加某些限制。

波动的冲击取决于在级联的位置中哪条通路被加载或卸载。若在每一点是同一条通路 (这可能是实际情况),那么该设别波动将趋向于冲击每一OADM点的相同的相邻通路。若 希望在每一OADM处完全保留装拆任何通路或通路群的灵活性(例如可再配置OADMs), 那么限制OADMs的数量以便于:

此处,OADM波动值是直接通过OADM的任何通路所见波动。

然而,有一些方法可以使该限制相对简单些。若将DWDM系统设计成带状结构(一个 例子可以是使用的四通路两间隔,四通路两间隔,等等)。可能一次卸载四通路。然后, OADM滤波器应具有两个未使用的通路,在该两个通路中,最近使用的临近信道到卸载的组 中的外转和波动可能非常小,由此在被波动限制之前增加可以级联的通路的数量。

### I.4 最大色散

如7.3.3中所描述的,每一应用的最大色散值已经通过将最大信道介入损耗(允许将OM/OD对的损耗从中减掉)除以0.21dB/km来计算得出。此处通过该方法获得的色散值被认为是较可以用于当前合算的光纤发送器的值高,依照当前技术能力减少色散值。所以,若色散与介入到链路中的任何OADM的介入损耗之比小于或等于其替代的光纤的该比例(最差的情况是68ps/nm/dB),该参数不限制任何一条链路中的OADMs的总数。然而,若上面的比例大于它替代的光纤的该比值,那么OADMs数应对某些应用码的最大链路长度施加限制(特别是对于低损耗的OM/OD对)。

在所有情况下(包括无OADMs的情况),该链路长度被限制到:

### I.5 反射

如在7.3.5中所描述的,可能包含在光通路(包括任何OADMs和相关的连接器)中连接器或者其他离散反射点的最大数必须这样以允许将实现的规范的整体光回波损耗。因为来自OADMs的任何反射和任何相关的连接器将被从未知的距离和损耗所隔开,此处不给出施加到一条链路中的OADMs数的限制的指南。

若在一条链路中有较多的OADMs,表8-1至8-5中给出的Ss和Rs之间的最大离散反射值可能不足以确保符合Ss处的最小光回波损耗。

若不能实现规范的"点Ss处的最小光回波损耗"或"Ss和Rs之间的最大离散反射",那么必须使用具有较好反射性能的部件和/或必须减少离散反射点的数量。有关反射测量的信息参见[b-IEC 61300-3-6]。

#### I.6 最大微分群延时

表8-1 至8-5中给出的最大微分群时延(DGD)是点Ss和Rs之间的整个链路的最大微分群时延。

在确定的超出概率下,下面的方程式可被用做计算链路的DGD(包含最OADMs和光纤部分)。

$$DGD \max_{link} = \left[ DGM \max_{F}^{2} + S^{2} \sum_{i} PMD_{Oi}^{2} \right]^{1/2}$$

此处:

DGDmax<sub>link</sub>: 最大的链路DGD(ps)
DGDmax<sub>F</sub>: 最大级联光缆DGD (ps)

S: Maxwell调整因数 (见表7-2最大与平均的比率)

PMDoi: 第i个OADM的PMD值(ps).

该方程式假定瞬间DGD的统计近似于Maxwell分布,超过*DGD*max<sub>link</sub>的瞬间DGD的概率由从表7-2中获得的Maxwell调整因数值(最大和平均的比率)控制。

进一步的细节参见[b-ITU-T G.650.2]和[b-ITU-T G.696.1]。DGDmax<sub>F</sub>(光部分的最大 DGD) 值可以被测量或能够使用相应的光建议书中的PMDo系数计算给定光纤长度的上限。

#### **I.7** 最大相干串话

在一特定的链路中使用一通路多于一次时可能发生相干串话。若卸载通路上的信号没有 完全被其卸载处的OADM消除,那么该信号可能干扰后续加载的相同通路上的信号。然而, 若该过程出现两次(通路被卸载、加载、卸载和再加载),第一个源的信号将被通路卸载处 的两个OADMs所消除,同时相干串话讲由卸载和加载该通路的最后一个OADM的性能所控 制。因而,该参数不限制链路中的OADMs的数量。

# 参考书目

[b-ITU-T G-Sup.39] ITU-T G系列建议书-增补39(2006,光系统设计和工程考虑.

[b-ITU-T G.650.2] ITU-T G.650.2建议书(2007),用于单模光纤和光缆统计和非线性相关属性的定义和测试方法

[b-ITU-T G.696.1] ITU-T G.696.1建议书(2005),纵向兼容域内DWDM应用.

[b-ITU-T G.8251] ITU-T G.8251建议书(2001), 光传送网络(OTN)中抖动和漫游控制.

[b-IEC 61300-3-6] IEC 61300-3-6 (2008), Fibre optic interconnecting devices and passive

components – Basic test and measurement procedures – Part 3-6:

Examinations and measurements – Return loss.

# ITU-T 系列建议书

A系列 ITU-T工作的组织

D系列 一般资费原则

E系列 综合网络运行、电话业务、业务运行和人为因素

F系列 非话电信业务

G系列 传输系统和媒质、数字系统和网络

H系列 视听及多媒体系统

I系列 综合业务数字网

J系列 有线网络和电视、声音节目及其它多媒体信号的传输

K系列 干扰的防护

L系列电缆和外部设备其它组件的结构、安装和保护

M系列 电信管理,包括TMN和网络维护

N系列 维护: 国际声音节目和电视传输电路

O系列 测量设备的技术规范

P系列 电话传输质量、电话设施及本地线路网络

Q系列 交换和信令

R系列 电报传输

S系列 电报业务终端设备

T系列 远程信息处理业务的终端设备

U系列 电报交换

V系列电话网上的数据通信

X系列 数据网、开放系统通信和安全性

Y系列 全球信息基础设施、互联网协议问题和下一代网络

Z系列用于电信系统的语言和一般软件问题